

УДК 539.107

© 1991

НУТАЦИОННЫЕ СПЕКТРЫ ЯКР ПОРОШКООБРАЗНЫХ ОБРАЗЦОВ

Н. Я. Синявский

Теоретически исследована форма линий нутационного спектра ЯКР порошка для спинов $J=1, 3/2$ с учетом расстройки. Установлены различия в нутационных спектрах при регистрации их синхронным и квадратурным детекторами. Показано, что для случая монокристалла и спина $J=3/2$ нутационная частота остается постоянной, если ось РЧ катушки ориентирована вдоль конической поверхности. Обсуждаются экспериментальные нутационные спектры ЯКР азота и хлора порошкообразных образцов уротропина, хлората калия и парадихлорбензола.

Нутационный спектр ядерного квадрупольного резонанса (ЯКР) получается Фурье-преобразованием сигнала индукции $G(t_w)$ после радиочастотного импульса, длительность t_w которого меняется в процессе измерения. В работе [1] было предложено использовать особенности нутационных спектров ЯКР хлора, брома и меди порошкообразных образцов для определения параметров асимметрии η тензора градиента электрического поля (ГЭП). Однако там выражения для сигнала индукции $G(t_w, t)$ записаны не совсем точно, не рассматривалась зависимость нутационного спектра от расстройки, которая практически всегда имеет место в эксперименте, не обсуждались различия при регистрации нутационных спектров синхронным или квадратурным детектором.

Расчет отклика системы ядерных спинов $J=1$, испытывающей электрические квадрупольные взаимодействия, на радиочастотный (РЧ) импульс длительностью t_w и с расстройкой $\Delta\omega$ от резонанса выполнялся нами с использованием нестационарной теории возмущений аналогично [2]. Полагалось, что $t_w \ll T_{2\rho}$, т. е. ядерная спин-система не имеет времени для достижения нового равновесия во вращающейся системе координат; кроме этого, спин-система рассматривалась изолированной от решетки. Сигнал индукции для линии ω_+ получается пропорциональным величине

$$G(t, t_w) = \frac{m}{\xi^2} \sin \xi t_w \sqrt{4m^2 \cos^2 \xi t_w + \Delta\omega^2} R(\theta, \varphi) \sin [\omega_+(t - t_w) + \beta]. \quad (1)$$

Здесь

$$m = \frac{\gamma H_1}{2} R(\theta, \varphi), \quad R(\theta, \varphi) = \sin \theta \cos \varphi,$$

$$\tan \beta = p/q, \quad \xi = \frac{1}{2} \sqrt{4m^2 + \Delta\omega^2},$$

$$q = \frac{m}{\xi} \sin \xi t_w \left[2 \cos \Delta\omega t_w \cos \xi t_w + \frac{\Delta\omega}{\xi} \sin \xi t_w \sin \Delta\omega t_w \right],$$

$$p = \frac{m}{\xi} \sin \xi t_w \left[2 \sin \Delta\omega t_w \cos \xi t_w - \frac{\Delta\omega}{\xi} \sin \xi t_w \cos \Delta\omega t_w \right],$$

H_1 — амплитуда РЧ поля; θ и φ — углы, определяющие положение РЧ катушки относительно главных осей тензора ГЭП. После детектирования

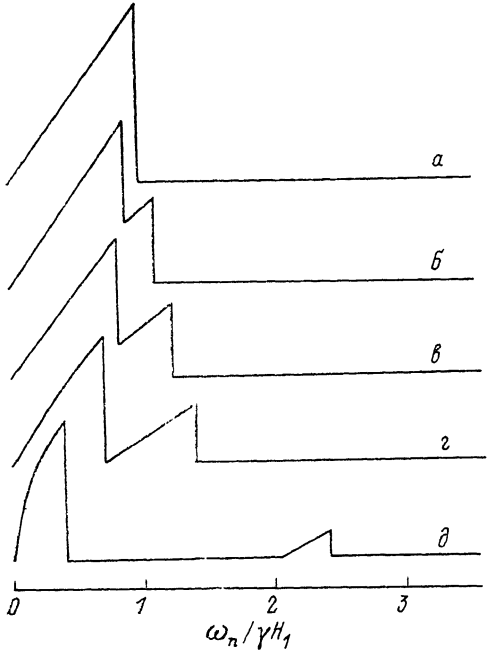
синхронным детектором с опорным напряжением в виде $U = U_0 \sin[(\omega_+ + \Delta\omega)t]$, сигнал будет пропорционален величине

$$G(t, t_w) = \frac{m}{\xi^2} \sin \xi t_w \sqrt{4m^2 \cos^2 \xi t_w + \Delta\omega^2} R(0, \varphi) \cos(\Delta\omega t + \beta). \quad (2)$$

При $t=0$ для одномерного случая из (2) получаем

$$G(t_w) = qR(0, \varphi) = \frac{mR(0, \varphi)}{4\xi^2} [(2\xi - \Delta\omega) \sin(2\xi + \Delta\omega)t_w + (2\xi + \Delta\omega) \sin(2\xi - \Delta\omega)t_w + 2\Delta\omega \sin \Delta\omega t_w]. \quad (3)$$

Таким образом, в нутационном спектре ЯКР для $\mathcal{J}=1$ в общем случае будут содержаться три частоты: $2\xi \pm \Delta\omega$, $\Delta\omega$. При этом тройка линий превращается в дублет при относительной расстройке $\Delta\omega/\gamma H_1 = 1/\sqrt{3}$.



Линия $2\xi + \Delta\omega$ быстро убывает по интенсивности с ростом расстройки. Выражение (3) можно использовать только для случая монокристалла и одного эквивалентного положения ядер относительно оси РЧ катушки. Нутационные частоты $2\xi \pm \Delta\omega$ зависят от углов θ и φ , и, следовательно, в случае порошка для них необходимо произвести усреднение. Результаты такого усреднения для различных относительных расстроек иллюстрирует рис. 1. Экспериментально линия $\omega_n^{(+)} = 2\xi + \Delta\omega$ нутационного спектра

Рис. 1. Линии $\omega_n^{\pm} = 2\xi \pm \Delta\omega$ нутационного спектра порошка ($\mathcal{J}=1$) для различных расстроек: $\Delta\omega/\gamma H_1 = 0$ (а), 0.1 (б), 0.2 (с), 0.35 (д), 1.0 (е).

ЯКР ^{14}N в $C_6H_{12}N_4$ не наблюдалась (рис. 2) из-за малой интенсивности. Однако, кроме линий $\omega_n^{(+)}$ и $\Delta\omega$, регистрируется комбинационная частота $\omega_n^{(-)} + \Delta\omega$. Важным требованием для регистрации не уширенных линий нутационного спектра является высокая однородность РЧ поля в объеме образца. Уменьшение амплитуды РЧ поля ухудшает разрешение линий нутационного спектра.

Регистрация сигнала свободной индукции после одного РЧ импульса для $C_6H_{12}N_4$ в виде двумерной функции $G(t_w, t)$ позволила нам построить двумерный (2М) нутационный спектр этого образца. Период дискретизации сигнала по обеим переменным был равен 10 мкс, расстройка спектрометра относительно резонансной частоты $\Delta\nu = 1$ кГц. 2М-нутационный спектр ЯКР уротропина не обнаружил ни каких особенностей; правда, разрешение его было ниже, так как в отличие от одномерного случая, где Фурье-преобразование велось с 4096 точками функции $G(t_w)$, здесь пришлось ограничиться 128 точками. Массив $G(t_w, t)$ не удавалось взять больше чем 128×128 из-за ограниченности памяти ПЭВМ и малого быстродействия.

Вместе с тем очевидно, что 2М-нутационный спектр ЯКР, содержащий несколько или много линий, позволит легко определить, какие линии обусловлены неэквивалентными положениями тензоров ГЭП ядер отно-

сительно направления РЧ поля, а какие различными квадрупольными взаимодействиями. Для этого необходимо 2М-нutationный спектр поочередно спроектировать на одну и другую ось.

Для спина $J = 3/2$ выражение для сигнала индукции после одного РЧ импульса при $\eta \neq 0$ и $\Delta\omega \neq 0$ получено в работе [2]. Для случая $t_W \ll T_{2z}$ оно приводится к виду

$$G(t, t_W) = \frac{m}{\xi^2} \sqrt{3 + \eta^2} R(0, \varphi) \sin \xi t_W \times \\ \times \sqrt{4m^2 \cos^2 \xi t_W + \Delta\omega^2} \sin [\omega_0(t - t_W) + \beta], \quad (4)$$

что по форме совпадает с выражением (2), но здесь

$$m = \frac{\gamma H_1 R(0, \varphi)}{4 \sqrt{3 + \eta^2}},$$

$$R(0, \varphi) = [4\eta^2 \cos^2 \theta + \sin^2 \theta (9 + \eta^2 + 6\eta \cos 2\varphi)]^{1/2}.$$

Детектирование сигнала индукции синхронным детектором для монокристалла и одного эквивалентного положения относительно направления РЧ поля здесь также приводит к трем нутационным частотам $2\xi \pm \Delta\omega$ и $\Delta\omega$. Усреднение же по углам θ и φ для порошка приводит здесь к иным формам нутационных линий $\omega_n^{(\pm)}$, чем для $J=1$. Соответствующие нутационные спектры в зависимости от величины относительной расстройки представлены на рис. 3.

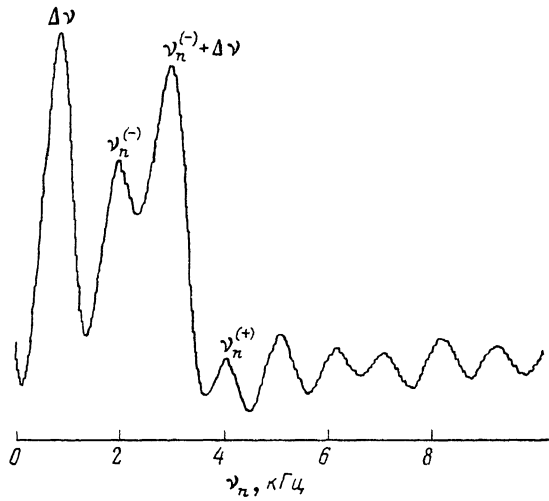


Рис. 2. Нутационный спектр ЯКР ^{14}N в порошкообразном $\text{C}_6\text{H}_{12}\text{N}_4$. $\gamma H_1 / 2\pi = 2.6$ кГц, $T = 298$ К.

Для некогерентного спектрометра или для квадратурного детектирования вместо (4) получим

$$G(t, t_W) = \frac{m}{\xi^2} \sqrt{3 + \eta^2} R(0, \varphi) \sin \xi t_W \sqrt{4m^2 \cos^2 \xi t_W + \Delta\omega^2}, \quad (5)$$

что приводит к одной нутационной частоте $\omega_n = 2\xi$ и ее гармоникам. Для монокристалла эта нутационная частота остается постоянной, если ось РЧ катушки направлена вдоль образующей конической поверхности

$$\sin^2 \theta = \frac{4 \left[\frac{\omega_n^2 - \Delta\omega^2}{(\gamma H_1)^2} (3 + \eta^2) - \eta^2 \right]}{3 (3 - \eta^2 + 2\eta \cos 2\varphi)}. \quad (6)$$

Аналогичная ситуация для $J = 3/2$ и монокристалла в случае ЯКР в постоянном поле возникает, когда квартет линий ЯКР превращается в тройчатку. В этом случае говорят о «конусе нулевого расщепления». Экспериментальная регистрация параметров конической поверхности (6) из нутационного спектра для монокристалла позволит определить параметр асимметрии η , а так как число «конусов нулевого расщепления» в кристалле определяется классом его симметрии, то данный подход можно использовать и в структурных исследованиях.

Для случая поликристаллического образца и с использованием синхронного детектора при $J=3/2$ для определения параметра асимметрии η можно пользоваться частотными особенностями нутационного спектра, как было предложено в [1], однако следует иметь в виду, что при наличии расстройки этот спектр может существенно усложняться (рис. 3).

Сигнал индукции, зарегистрированный некогерентным спектрометром или с помощью квадратурного детектора, не позволит получить нормальный 2M-нутационный спектр, так как в нем не отражается вся зависимость от расстройки $\Delta\omega$.

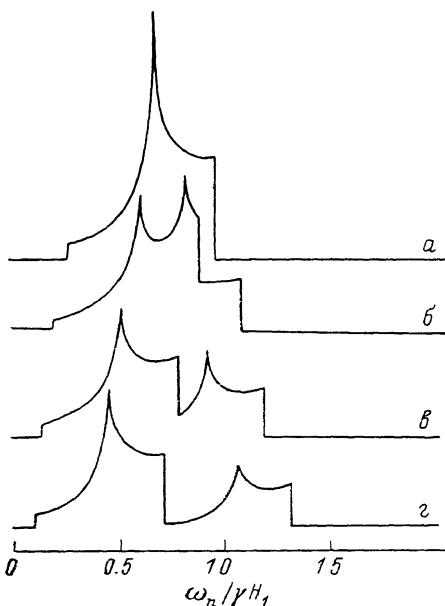


Рис. 3. Зависимость линий $\omega_n^{(\pm)}$ нутационного спектра порошка ($J=3/2$, $\eta=0.5$) от расстройки. $\Delta\omega/\gamma H_1 = 0$ (a), 0.1 (b), 0.2 (c), 0.3 (d).

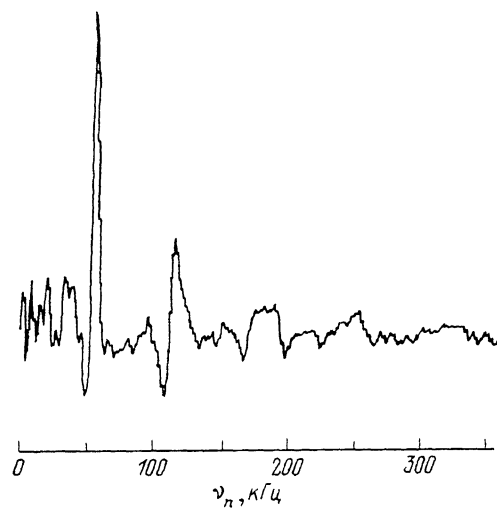


Рис. 4. Нутационный спектр ЯКР ^{35}Cl в порошке $1,4\text{-Cl}_2\text{C}_6\text{H}_4$. $\Delta\nu=50$ кГц, $\gamma H_1/2\pi=26$ кГц, $T=298$ К.

Экспериментально нутационные спектры ЯКР ^{35}Cl порошкообразных образцов исследовались нами с помощью некогерентного импульсного ЯКР-спектрометра, описанного в работе [3]. Так как в KClO_3 регистрировать сигнал индукции после первого РЧ импульса как функцию t_w из-за короткого времени T_2^* не удобно, измерения выполнялись с сигналом эха после рефокусирующего импульса длительностью t'_w . В нутационных спектрах ЯКР ^{35}Cl от KClO_3 ($\eta=0$) и $1,4\text{-Cl}_2\text{C}_6\text{H}_4$ ($\eta \approx 0.08$) не наблюдается каких-либо особенностей в форме линии ω_n , очевидно, из-за малого параметра асимметрии η . Вместе с тем в спектре парадихлорбензола (рис. 4) наблюдаются гармоники нутационной частоты ω_n .

Таким образом, мы показали, что при наличии расстройки, которая обычно всегда имеет место в реальном эксперименте, форма линий нутационного спектра порошка для $J=3/2$ может быть более сложной, чем до этого представлялось. Полученные формы линий нутационного спектра для порошка в случае спина $J=1$ не имеют частотных особенностей, которые позволили бы определить параметр асимметрии η . Установлено, как изменяется нутационный спектр ЯКР при переходе от синхронного детектирования к квадратурному. Полученное уравнение конической поверхности для случая $J=3/2$ и монокристалла позволяет использовать нутационные измерения для определения параметра асимметрии η и класса симметрии кристалла.

Список литературы

- [1] Harbison G. S., Slokenbergs A. // Z. Naturforsch. 1990. V. 45a. N 3—4. P. 575—580.
- [2] Pratt J. C., Raghunathan P., McDowell C. A. // J. Magn. Res. 1975. V. 20. P. 313—327.
- [3] Анферов В. И., Гречишkin В. С. // Ядерный квадрупольный резонанс. 1977. В. 2. С. 73—91.

Калининградский
государственный университет

Поступило в Редакцию
29 мая 1991 г.
